



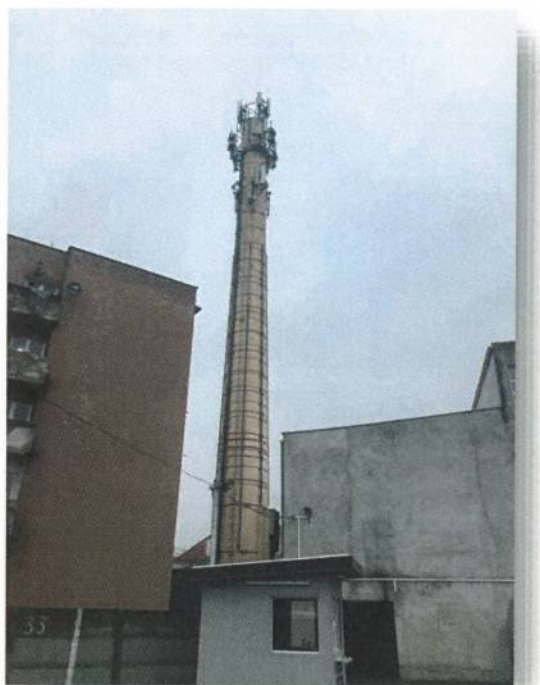
Laboratorium EMVO Sp. J. Urbański, Pawelak  
ul. Jasna 1  
00-013 Warszawa

tel. +48 22 780 29 64  
e-mail: laboratorium@emvo.pl



AB 1630

## Sprawozdanie z pomiarów pól elektromagnetycznych - środowisko ogólne nr 12/01/OŚ/2021 - ELT



Nr i nazwa stacji	BT42998_KOSZALIN_PIŁSUDSKIEGO	
Adres	75-526 Koszalin, ul. Broniewskiego 2, woj. zachodniopomorskie	
Opracowanie	Martyna Karczmarczyk	Specjalista ds. pomiarów
Autoryzacja	Andrzej Urbański	Kierownik Laboratorium
Podpis	Podpis jest prawidłowy Dokument podpisany przez Andrzej Urbański Data: 2021.01.27 07:51:45 CE Powód: Zatwierdzam dokument	
Data	2021-01-25	

## Spis treści

1. Informacje ogólne.....	3
2. Podstawa prawna. ....	3
3. Opis pomiarów.....	3
4. Zróżnicowanie dopuszczalne poziomy pól elektromagnetycznych.....	5
5. Charakterystyka źródeł PEM.....	5
6. Wyniki pomiarów.....	5
7. Stwierdzenie zgodności .....	7
8. Oświadczenie. ....	8
9. Spis załączników. ....	8

## 1. Informacje ogólne.

Zleceniodawca	Axians Networks Poland Sp. z o.o. ul. Żupnicza 17 – 03-821 Warszawa Osoba udzielająca informacji – Piotr Miliszkiewicz
Istotne informacje dostarczone przez klienta	komplet informacji niezbędnych do wykonania pomiarów i opracowania sprawozdania
Dane otrzymane od klienta mogące mieć wpływ na ważność wyników	Dane anten sektorowych, dane anten radioliniowych, parametry pracy instalacji, poprawka pomiarowa, ustawienie pochylenia anten
Prowadzący instalację	Polkomtel Infrastruktura sp. z o.o., ul. Konstruktorska 4, 02-673 Warszawa
Lokalizacja obiektu	75-526 Koszalin, ul. Broniewskiego 2, woj. zachodniopomorskie
Miejsce instalacji anten	Komin
Miejsce instalacji urządzeń	Kontener
Osoby wykonujące pomiar	Paweł Rościszewski
Data wykonania pomiaru	25.01.2021
Temperatura na początku pomiaru [°C]	3,0
Temperatura na koniec pomiaru [°C]	3,5
Warunki atmosferyczne	Brak opadów
Wilgotność na początku pomiaru [%]	74,0
Wilgotność na koniec pomiaru [%]	72,5
Inne źródła pól elektromagnetycznych oznaczone na załączniku graficznym	Występują
Parametry pracy instalacji	Rzeczywisty

## 2. Podstawa prawna.

### 2.1 Normy i rozporządzenia:

- Rozporządzeniem Ministra Klimatu z dnia 17 lutego 2020 r. w sprawie sposobów sprawdzania dotrzymania dopuszczalnych poziomów pól elektromagnetycznych w środowisku (Dz.U. 2020 poz. 258)
- Rozporządzenie Ministra Zdrowia z dnia 17 grudnia 2019 r. w sprawie dopuszczalnych poziomów pól elektromagnetycznych w środowisku (Dz.U. 2019 poz. 2448)
- Obwieszczenie Marszałka Sejmu Rzeczypospolitej Polskiej z dnia 19 lipca 2019 r. w sprawie ogłoszenia jednolitego tekstu ustawy - Prawo ochrony środowiska (Dz.U. 2019 poz. 1396).

## 3. Opis pomiarów

Metodologia pomiarowa

Pomiary w oparciu o Rozporządzeniem Ministra Klimatu z dnia 17 lutego 2020 r. w sprawie sposobów sprawdzania dotrzymania dopuszczalnych poziomów pól elektromagnetycznych w środowisku (Dz.U. 2020 poz. 258).



Cel badań	Określenie wartości natężenia pola elektrycznego w miejscach dostępnych dla ludności.
Opis zestawu pomiarowego	Miernik Narda NBM 520, Sonda EF 9091, o zakresie pomiarowym 0,7 V/m - 400V/m pracująca w paśmie 0,1 – 90 GHz, świadectwo wydane przez Laboratorium Wzorców i Metrologii Pola Elektromagnetycznego, Instytut Telekomunikacji, Teleinformatyki i Akustyki Politechniki Wrocławskiej. Świadectwo ważne do 15.07.2021r. Miernik Narda NBM 520, Sonda EF 9091 pracująca w zakresie temperatury -10°C - +50°C oraz wilgotności 5% - 95%. Niepewność rozszerzona 37,6% przy poziomie ufności 95% z uwzględnieniem współczynnika rozszerzenia k=2.
Wyposażenie pomocnicze	Termohigrometr Termoprodukt, typ: Termik+, nr identyfikacyjny 700618, świadectwo wzorcowania nr 1763/AH/19 z dn. 29.07.2019 r. wydane przez Laboratorium Pomiarowe "MUTECH". Przymiar wstępowy STABILA, nr identyfikacyjny 31WL, świadectwo wzorcowania nr 6W1/1826/19 z dn. 02.08.2019 r. wydane przez Dyrektora Okręgowego Urzędu Miar w Gdańsku. GPS Garmin 64s okresowo sprawdzany w punktach osnowy geodezyjnej klasy 3 na podstawie licencji punktu, zgodnie z procedurą sprawdzeń okresowych IS/PO16-11/03.
Pomiary zostały wykonane	<ol style="list-style-type: none"> <li>1. na głównych i pomocniczych kierunkach pomiarowych, na kierunkach zbliżonych do azymutów anten oraz w dodatkowych pionach pomiarowych zgodnie z wymaganiami pkt 12, 13, 14 i 19 załącznika do rozporządzenia Ministra Klimatu z dnia 17 lutego 2020 r. (Dz. U. 2020, poz. 258),</li> <li>2. na obszarze pomiarowym, dla którego, na podstawie uprzednio wykonanych obliczeń uzyskanych od zleceniodawcy, stwierdzono możliwość występowania pól elektromagnetycznych o poziomach zbliżonych do poziomów dopuszczalnych zgodnie z wymaganiami pkt 5 ppkt 2 oraz pkt 13 ppkt 1 załącznika do rozporządzenia Ministra Klimatu z dnia 17 lutego 2020 r. (Dz. U. 2020, poz. 258). Wyniki obliczeń nie uwzględniały parametrów pracy instalacji innych operatorów występujących na obiekcie bądź w obszarze pomiarowym.</li> <li>3. w miejscach dostępnych dla ludności.</li> <li>4. miejsca niedostępne podczas wykonywania pomiarów wskazane zostały w pkt 6 (tabeli wyniki pomiarów)</li> <li>5. wyniki pomiarów uzyskane zostały przy uwzględnieniu poprawek pomiarowych przekazanych przez zleceniodawcę oraz przy rzeczywistych warunkach pracy instalacji innych operatorów (w przypadku występowania). W takiej sytuacji uwzględniono jednolitą poprawkę pomiarową wynoszącą 2,0.</li> </ol>
Szczególne warunki podczas wykonywania pomiarów	Pomiary wykonane zostały podczas obowiązywania w kraju stanu epidemii, zgodnie z art. 122a ust. 1b Ustawy z dnia 27 kwietnia 2001 r. – Prawo ochrony środowiska (Dz. U. z 2019 r. poz. 1396, z późn. zm.9))
Warunki pracy urządzeń nadawczych	Podczas pomiarów zostały uwzględnione poprawki pomiarowe przekazane przez zleceniodawcę, umożliwiające uwzględnienie maksymalnych parametrów pracy instalacji zgodnie z pkt 7 załącznika do Rozporządzeniem Ministra Klimatu z dnia 17 lutego 2020 r. w sprawie sposobów sprawdzania dotrzymania dopuszczalnych poziomów pól elektromagnetycznych w środowisku (Dz. U. 2020, poz. 258).

#### 4. Zróźnicowanie dopuszczalne poziomy pól elektromagnetycznych.

Zakresy znajdują się w Dzienniku Ustaw z dnia 17 grudnia 2019 r. przestawione są w tabeli nr 2 (Dz. U. z 2019r. poz. 2448).

Parametr fizyczny	Składowa elektryczna E (V/m)	Składowa magnetyczna H (A/m)	Gęstość mocy S (W/m <sup>2</sup> )
Zakres Częstotliwości pola elektromagnetycznego			
od 400 MHz do 2000 MHz	$1,375 \times f^{0,5}$	$0,0037 \times f^{0,5}$	$f / 200$
od 2 GHz do 300 GHz	61	0,16	10

#### 5. Charakterystyka źródeł PEM.

Zgodnie z informacją otrzymaną od Klienta pomiary zostały wykonane przy ustawieniach pochylenia anten zgodnych z pkt. 13, ppkt 2 załącznika do rozporządzenia Ministra Klimatu z dnia 17 lutego 2020 roku.

Tabela 1. Anteny sektorowe - dane otrzymane od klienta

Typ anteny	Współrzędne geograficzne	Azymut mechaniczny [°]	Azymut elektryczny [°]	Wysokość środka elektrycznego anten n.p.t. [m]	Pasma częstotliwości	Zakres pochylenia elektrycznego [°]	Kąt pochylenia mechanicznego [°]	Średnie pochylenie anten (ustawione do pomiarów PEM) [°]	Moc EIRP [W]	Suma EIRP [W]
ADU4518R7V06	54°11'43.44"N 16°12'19.55"E	60	60	41,95	2600 900	2-7 0-7	0 0	3,5 3,5	3629 4656	8285
ADU4518R7V06	54°11'43.44"N 16°12'19.55"E	180	180	41,95	2600 900	2-9 0-9	0 0	4,5 4,5	3629 4656	8285
ADU4518R7V06	54°11'43.44"N 16°12'19.55"E	300	300	41,95	2600 900	2-10 0-10	0 0	5,0 5,0	3629 4656	8285
80020727	54°11'43.44"N 16°12'19.55"E	120	120	41,95	1800 2100 2600	2-7,3 2-7,3 2-7,3	0 0 0	4,7 4,7 4,7	3454 3940 10407	17801
80020727	54°11'43.44"N 16°12'19.55"E	240	240	41,95	1800 2100 2600	2-5,8 2-5,8 2-5,8	0 0 0	3,9 3,9 3,9	3454 3940 10407	17801
80020727	54°11'43.44"N 16°12'19.55"E	0	0	41,95	1800 2100 2600	2-4,5 2-4,5 2-4,5	0 0 0	3,3 3,3 3,3	3454 3940 10407	17801

#### 6. Wyniki pomiarów.

Wyniki pomiarów pól elektromagnetycznych dla celów ochrony środowiska przedstawia poniższa tabela. Piony pomiarowe zostały przedstawione w zał. 2.

Nr PP	Pole-E [V/m]	Pole-E *kE,+U [V/m]	Pole-H [A/m]	Pole-H *kE+U [A/m]	Wys. pomiaru [m]	Opis pionu	Uwagi	WM <sub>E</sub>	WM <sub>H</sub>
1	1,0	2,75	0,003	0,007	0,9	N:54°11'47.2" E:16°12'19.2"	otoczenie stacji bazowej - 100m wzdłuż gł. osi promieniowania - GKP	0,071	0,070
2	1,0	2,75	0,003	0,007	1,1	N:54°11'50.2" E:16°12'18.8"	otoczenie stacji bazowej - 200m wzdłuż gł. osi promieniowania - GKP	0,071	0,070
3	<0,7*	<1,93	<0,002	<0,005	0,3-2,0	N:54°11'52.9" E:16°12'19.1"	otoczenie stacji bazowej - 300m wzdłuż gł. osi promieniowania - GKP	<0,050	<0,049
4	<0,7*	<1,93	<0,002	<0,005	0,3-2,0	N:54°11'55.9" E:16°12'18.8"	otoczenie stacji bazowej - 400m wzdłuż gł. osi promieniowania - GKP	<0,050	<0,049
5	<0,7*	<1,93	<0,002	<0,005	0,3-2,0	N:54°11'56.9" E:16°12'18.7"	otoczenie stacji bazowej - 420m wzdłuż gł. osi promieniowania - GKP	<0,050	<0,049



6	<0,7*	<1,93	<0,002	<0,005	0,3-2,0	N:54°11'45.4" E:16°12'24.3"	otoczenie stacji bazowej - 100m wzdłuż gł. osi promieniowania - GKP	<0,050	<0,049
7	<0,7*	<1,93	<0,002	<0,005	0,3-2,0	N:54°11'46.9" E:16°12'28.9"	otoczenie stacji bazowej - 200m wzdłuż gł. osi promieniowania - GKP	<0,050	<0,049
8	<0,7*	<1,93	<0,002	<0,005	0,3-2,0	N:54°11'48.9" E:16°12'23.4"	otoczenie stacji bazowej - 300m wzdłuż gł. osi promieniowania - GKP	<0,050	<0,049
9	<0,7*	<1,93	<0,002	<0,005	0,3-2,0	N:54°11'50.3" E:16°12'37.5"	otoczenie stacji bazowej - 400m wzdłuż gł. osi promieniowania - GKP	<0,050	<0,049
10	<0,7*	<1,93	<0,002	<0,005	0,3-2,0	N:54°11'50.6" E:16°12'38.7"	otoczenie stacji bazowej - 420m wzdłuż gł. osi promieniowania - GKP	<0,050	<0,049
11	2,0	5,50	0,005	0,015	1,1	N:54°11'42.3" E:16°12'24.8"	otoczenie stacji bazowej - 100m wzdłuż gł. osi promieniowania - GKP	0,142	0,140
12	<0,7*	<1,93	<0,002	<0,005	0,3-2,0	N:54°11'37.8" E:16°12'39.9"	otoczenie stacji bazowej - 420m wzdłuż gł. osi promieniowania - GKP	<0,050	<0,049
13	1,0	2,75	0,003	0,007	0,8	N:54°11'40.3" E:16°12'20.4"	otoczenie stacji bazowej - 100m wzdłuż gł. osi promieniowania - GKP	0,071	0,070
14	<0,7*	<1,93	<0,002	<0,005	0,3-2,0	N:54°11'30.5" E:16°12'20.7"	otoczenie stacji bazowej - 420m wzdłuż gł. osi promieniowania - GKP	<0,050	<0,049
15	1,0	2,75	0,003	0,007	0,9	N:54°11'41.6" E:16°12'14.4"	otoczenie stacji bazowej - 100m wzdłuż gł. osi promieniowania - GKP	0,071	0,070
16	0,8	2,20	0,002	0,006	0,9	N:54°11'40.5" E:16°12'10.9"	otoczenie stacji bazowej - 200m wzdłuż gł. osi promieniowania - GKP	0,057	0,056
17	1,3	3,58	0,003	0,009	1,1	N:54°11'38.2" E:16°12'05.2"	otoczenie stacji bazowej - 300m wzdłuż gł. osi promieniowania - GKP	0,092	0,091
18	<0,7*	<1,93	<0,002	<0,005	0,3-2,0	N:54°11'36.5" E:16°12'01.1"	otoczenie stacji bazowej - 420m wzdłuż gł. osi promieniowania - GKP	<0,050	<0,049
19	<0,7*	<1,93	<0,002	<0,005	0,3-2,0	N:54°11'45.1" E:16°12'15.1"	otoczenie stacji bazowej - 100m wzdłuż gł. osi promieniowania - GKP	<0,050	<0,049
20	<0,7*	<1,93	<0,002	<0,005	0,3-2,0	N:54°11'46.3" E:16°12'10.1"	otoczenie stacji bazowej - 200m wzdłuż gł. osi promieniowania - GKP	<0,050	<0,049
21	1,1	3,03	0,003	0,008	0,9	N:54°11'48.1" E:16°12'03.9"	otoczenie stacji bazowej - 300m wzdłuż gł. osi promieniowania - GKP	0,078	0,077
22	<0,7*	<1,93	<0,002	<0,005	0,3-2,0	N:54°11'49.3" E:16°12'00.7"	otoczenie stacji bazowej - 400m wzdłuż gł. osi promieniowania - GKP	<0,050	<0,049
23	<0,7*	<1,93	<0,002	<0,005	0,3-2,0	N:54°11'49.9" E:16°11'59.3"	otoczenie stacji bazowej - 420m wzdłuż gł. osi promieniowania - GKP	<0,050	<0,049
24	<0,7*	<1,93	<0,002	<0,005	0,3-2,0	N:54°11'43.7" E:16°12'24.0"	otoczenie stacji bazowej - GKP	<0,050	<0,049
25	1,2	3,30	0,003	0,009	1,1	N:54°11'40.9" E:16°12'22.4"	otoczenie stacji bazowej - GKP	0,085	0,084
26	1,5	4,13	0,004	0,011	1,1	N:54°11'41.5" E:16°12'27.9"	otoczenie stacji bazowej - GKP	0,106	0,105
27	1,2	3,30	0,003	0,009	1,1	N:54°11'43.6" E:16°12'11.9"	otoczenie stacji bazowej - GKP	0,085	0,084
28	1,0	2,75	0,003	0,007	0,8	N:54°11'45.9" E:16°12'17.2"	otoczenie stacji bazowej - GKP	0,071	0,070
29	<0,7*	<1,93	<0,002	<0,005	0,3-2,0	N:54°11'45.5" E:16°12'21.3"	otoczenie stacji bazowej - GKP	<0,050	<0,049
A	<0,7*	<1,93	<0,002	<0,005	0,3-2,0	Traugutta 6, pomiar przed budynkiem -DPP		<0,050	<0,049
	<0,7*	<1,93	<0,002	<0,005	0,3-2,0	Traugutta 8, pomiar przed budynkiem -DPP		<0,050	<0,049
B	2,0	5,50	0,005	0,015	1,5	Broniewskiego 1, pomiar przed budynkiem -DPP		0,142	0,140
	1,5	4,13	0,004	0,011	1,2	Broniewskiego 3, pomiar przed budynkiem -DPP		0,106	0,105
C	1,7	4,68	0,005	0,012	1,5	Broniewskiego 5, pomiar przed budynkiem -DPP		0,120	0,119
	1,5	4,13	0,004	0,011	1,4	Broniewskiego 7, pomiar przed budynkiem -DPP		0,106	0,105
D	1,5	4,13	0,004	0,011	1,3	Broniewskiego 9, pomiar przed budynkiem -DPP		0,106	0,105
	1,5	4,13	0,004	0,011	1,2	Broniewskiego 10, pomiar przed budynkiem -DPP		0,106	0,105
E	<0,7*	<1,93	<0,002	<0,005	0,3-2,0	Traugutta 4, pomiar przed budynkiem -DPP		<0,050	<0,049
F	<0,7*	<1,93	<0,002	<0,005	0,3-2,0	Piłsudskiego 72, pomiar przed budynkiem -DPP		<0,050	<0,049
	<0,7*	<1,93	<0,002	<0,005	0,3-2,0	Piłsudskiego 70, pomiar przed budynkiem -DPP		<0,050	<0,049
G	<0,7*	<1,93	<0,002	<0,005	0,3-2,0	Piłsudskiego 68, pomiar przed budynkiem -DPP		<0,050	<0,049
	<0,7*	<1,93	<0,002	<0,005	0,3-2,0	Piłsudskiego 66, pomiar przed budynkiem -DPP		<0,050	<0,049

„Bez pisemnej zgody Laboratorium niniejsze sprawozdanie nie może być powielane inaczej, jak tylko w całości. Ponadto wyniki dotyczą tylko badanych obiektów przywołanych w niniejszym sprawozdaniu z badań”  
12/01/OŚ/2021 - FLT

H	1,0	2,75	0,003	0,007	1,5	Broniewskiego 12, pomiar przed budynkiem -DPP	0,071	0,070
	1,1	3,03	0,003	0,008	1,2	Broniewskiego 10, pomiar przed budynkiem -DPP	0,078	0,077
	1,0	2,75	0,003	0,007	1,4	Broniewskiego 8, pomiar przed budynkiem -DPP	0,071	0,070
I	<0,7*	<1,93	<0,002	<0,005	0,3-2,0	Sygietyńskiego 3, pomiar przed budynkiem -DPP	<0,050	<0,049
J	<0,7*	<1,93	<0,002	<0,005	0,3-2,0	Sygietyńskiego 11, pomiar przed budynkiem -DPP	<0,050	<0,049
K	<0,7*	<1,93	<0,002	<0,005	0,3-2,0	Sygietyńskiego 19, pomiar przed budynkiem -DPP	<0,050	<0,049
	<0,7*	<1,93	<0,002	<0,005	0,3-2,0	Sygietyńskiego 17, pomiar przed budynkiem -DPP	<0,050	<0,049
L	<0,7*	<1,93	<0,002	<0,005	0,3-2,0	Wieniawskiego 11, pomiar przed budynkiem -DPP	<0,050	<0,049
M	<0,7*	<1,93	<0,002	<0,005	0,3-2,0	Wieniawskiego 3, pomiar przed budynkiem -DPP	<0,050	<0,049
	<0,7*	<1,93	<0,002	<0,005	0,3-2,0	Wieniawskiego 5, pomiar przed budynkiem -DPP	<0,050	<0,049
N	<0,7*	<1,93	<0,002	<0,005	0,3-2,0	Szymanowskiego 31, pomiar przed budynkiem -DPP	<0,050	<0,049
	<0,7*	<1,93	<0,002	<0,005	0,3-2,0	Szymanowskiego 29, pomiar przed budynkiem -DPP	<0,050	<0,049
O	1,2	3,30	0,003	0,009	1,5	Traugutta 19, pomiar przed budynkiem -DPP	0,085	0,084
P	1,3	3,58	0,003	0,009	1,2	Traugutta 21, pomiar przed budynkiem -DPP	0,092	0,091
R	1,0	2,75	0,003	0,007	1,5	Chopina 27, pomiar przed budynkiem -DPP	0,071	0,070
	<0,7*	<1,93	<0,002	<0,005	0,3-2,0	Chopina 27a, pomiar przed budynkiem -DPP	<0,050	<0,049
S	<0,7*	<1,93	<0,002	<0,005	0,3-2,0	Chopina 27b, pomiar przed budynkiem -DPP	<0,050	<0,049
T	2,2	6,05	0,006	0,016	1,2	Chopina 30, pomiar przed budynkiem -DPP	0,156	0,153
U	2,0	5,50	0,005	0,015	1,7	Zgoda 23, pomiar przed budynkiem -DPP	0,142	0,140
W	1,0	2,75	0,003	0,007	1,5	Zgoda 26, pomiar przed budynkiem -DPP	0,071	0,070
V	<0,7*	<1,93	<0,002	<0,005	0,3-2,0	Szymanowskiego 23, pomiar przed budynkiem -DPP	<0,050	<0,049
X	<0,7*	<1,93	<0,002	<0,005	0,3-2,0	Szymanowskiego 26, pomiar przed budynkiem -DPP	<0,050	<0,049
Y	<0,7*	<1,93	<0,002	<0,005	0,3-2,0	Szymanowskiego 24b, pomiar przed budynkiem -DPP	<0,050	<0,049
Z	<0,7*	<1,93	<0,002	<0,005	0,3-2,0	Szymanowskiego 22b, pomiar przed budynkiem -DPP	<0,050	<0,049
A1	1,3	3,58	0,003	0,009	1,5	Chopina 3, pomiar przed budynkiem -DPP	0,092	0,091
B1	1,0	2,75	0,003	0,007	1,2	Moniuszki 17a, pomiar przed budynkiem -DPP	0,071	0,070
	1,0	2,75	0,003	0,007	1,5	Moniuszki 17b, pomiar przed budynkiem -DPP	0,071	0,070
	1,0	2,75	0,003	0,007	1,4	Moniuszki 17c, pomiar przed budynkiem -DPP	0,071	0,070
C1	<0,7*	<1,93	<0,002	<0,005	0,3-2,0	Moniuszki 12, pomiar przed budynkiem -DPP	<0,050	<0,049
D1	1,2	3,30	0,003	0,009	1,2	Broniewskiego 14, pomiar przed budynkiem -DPP	0,085	0,084
	1,1	3,03	0,003	0,008	1,7	Broniewskiego 16, pomiar przed budynkiem -DPP	0,078	0,077
E1	1,3	3,58	0,003	0,009	1,5	Moniuszki 2a, pomiar przed budynkiem -DPP	0,092	0,091
F1	1,2	3,30	0,003	0,009	1,2	Piłsudskiego 48, pomiar przed budynkiem -DPP	0,085	0,084
G1	<0,7*	<1,93	<0,002	<0,005	0,3-2,0	Piłsudskiego 65, pomiar przed budynkiem -DPP	<0,050	<0,049
H1	1,3	3,58	0,003	0,009	1,4	Wybickiego 1, pomiar przed budynkiem -DPP	0,092	0,091
I1	1,1	3,03	0,003	0,008	1,3	Wybickiego 3, pomiar przed budynkiem -DPP	0,078	0,077
J1	<0,7*	<1,93	<0,002	<0,005	0,3-2,0	Rejtana 10, pomiar przed budynkiem -DPP	<0,050	<0,049
K1	<0,7*	<1,93	<0,002	<0,005	0,3-2,0	Rejtana 7a, pomiar przed budynkiem -DPP	<0,050	<0,049
L1	1,2	3,30	0,003	0,009	1,5	Piłsudskiego 73, pomiar przed budynkiem -DPP	0,085	0,084
M1	<0,7*	<1,93	<0,002	<0,005	0,3-2,0	Giełdowa 6, pomiar przed budynkiem -DPP	<0,050	<0,049
N1	<0,7*	<1,93	<0,002	<0,005	0,3-2,0	Traugutta 2, pomiar przed budynkiem -DPP	<0,050	<0,049

Wynik pomiaru pole - E [V/m] - maksymalna wartość chwilowa zmierzona w danych pionie pomiarowym

\* poniżej czułości zestawu pomiarowego

GKP - główne kierunki pomiarowe

PKP - pomocnicze kierunki pomiarowe

DPP- dodatkowe punkty pomiarowe

PP – pion pomiarowy

U - niepewność pomiarowa rozszerzona, przy poziomie ufności 95%, z uwzględnieniem współczynnika rozszerzenia k=2

kE– poprawka pomiarowa badanej instalacji radiokomunikacyjnej podana przez operatora (kE=1,4), poprawka pomiarowa w przypadku oddziaływania innych instalacji radiokomunikacyjnych na badany obszar (kE=2,0)

„Bez pisemnej zgody Laboratorium niniejsze sprawozdanie nie może być powielane inaczej, jak tylko w całości. Ponadto wyniki dotyczą tylko badanych obiektów przywołanych w niniejszym sprawozdaniu z badań”

$WM_E$  - wartość wskaźnikowa poziomu emisji pól elektromagnetycznych dla miejsc dostępnych dla ludności dla składowej elektrycznej pola

$WM_H$  - wartość wskaźnikowa poziomu emisji pól elektromagnetycznych dla miejsc dostępnych dla ludności dla składowej magnetycznej pola

Przyjęto najniższą dopuszczalną wartość składowej elektrycznej pola dla objętego pomiarami zakresu częstotliwości  $\min(ME_{gr}) = 38,8 \text{ V/m}$  oraz składowej magnetycznej  $\min(MH_{gr}) = 0,105 \text{ A/m}$ .

## 7. Stwierzenie zgodności

Na podstawie wytycznych podanych w Rozporządzeniu Ministra Zdrowia z dnia 17 grudnia 2019 r. w sprawie dopuszczalnych poziomów pól elektromagnetycznych w środowisku (Dz.U. 2019 poz. 2448) oraz sposobów sprawdzania dotrzymania tych poziomów zgodnie z Rozporządzeniem Ministra Klimatu z dnia 17 lutego 2020 r. w sprawie sposobów sprawdzania dotrzymania dopuszczalnych poziomów pól elektromagnetycznych w środowisku (Dz.U. 2020 poz. 258) dotyczących źródła wymagań, które muszą być spełnione (załącznik do rozporządzenia Ministra Klimatu z dnia 17 lutego 2020 r. (poz. 258)), w oparciu o zasadę podejmowania decyzji zgodną z pkt 26 załącznika do rozporządzenia Ministra Klimatu z dnia 17 lutego 2020 r. (poz. 258), na podstawie wyników pomiarów pól elektromagnetycznych wykonanych w dniu 25.01.2021 stwierdzono, iż w miejscach dostępnych dla ludności, dopuszczalne poziomy pól elektromagnetycznych w środowisku, określone w przepisach wydanych na podstawie art. 122 ust. 1 ustawy z dnia 27 kwietnia 2001 r. – Prawo ochrony środowiska, uznaje się za dotrzymane w obszarze pomiarowym, w którym w wyniku zastosowania sposobu sprawdzenia dotrzymania dopuszczalnych poziomów pól elektromagnetycznych w środowisku, udokumentowano, że żadna z wartości wskaźnikowych nie przekracza wartości 1.

## 8. Oświadczenie.

Wyniki badania odnoszą się wyłącznie do badanego obiektu.

Bez pisemnej zgody sprawozdanie nie może być powielane inaczej, jak tylko w całości.

Uwagi i zastrzeżenia przyjmowane są w formie pisemnej w ciągu 14 dni od daty otrzymania sprawozdania.

## 9. Spis załączników.

Zał. 1. Lokalizacja obiektu.

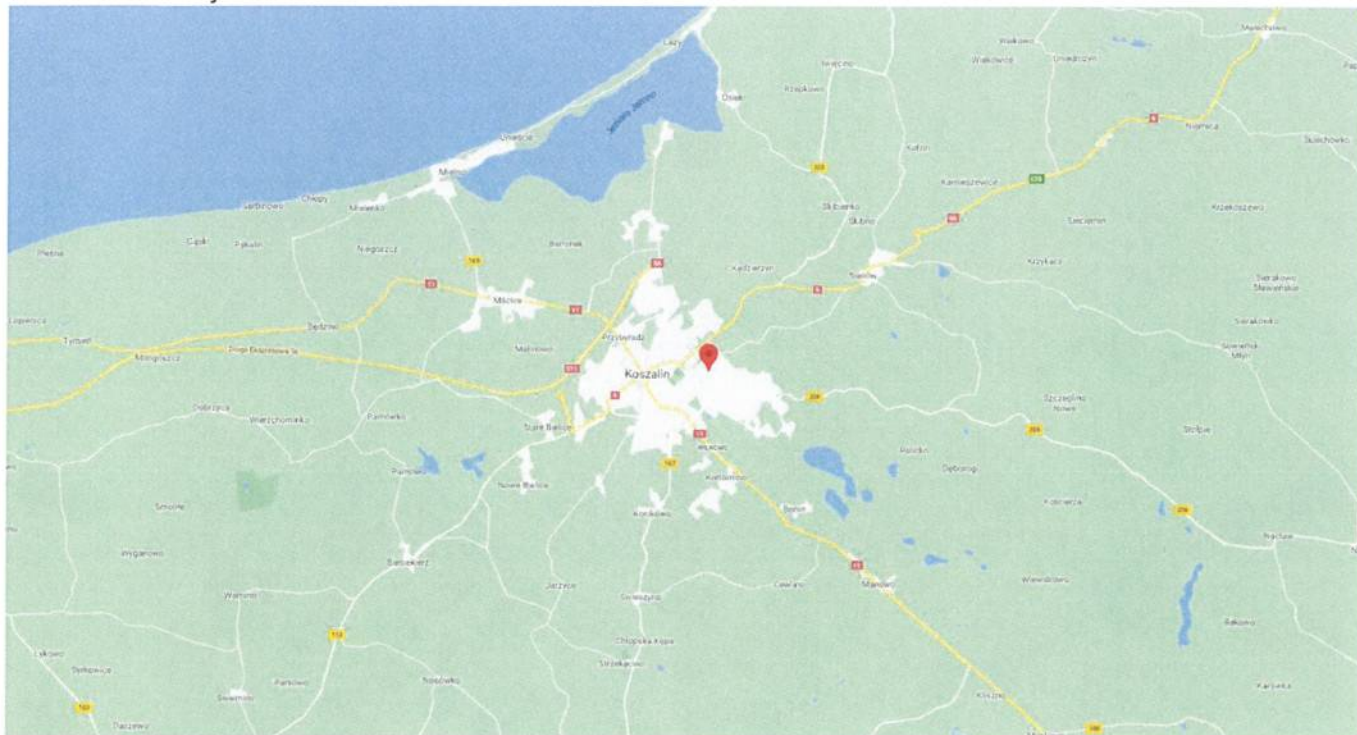
Zał. 2. Widok pionów pomiarowych

Zał. 3. Załączniki graficzne

**Koniec sprawozdania**



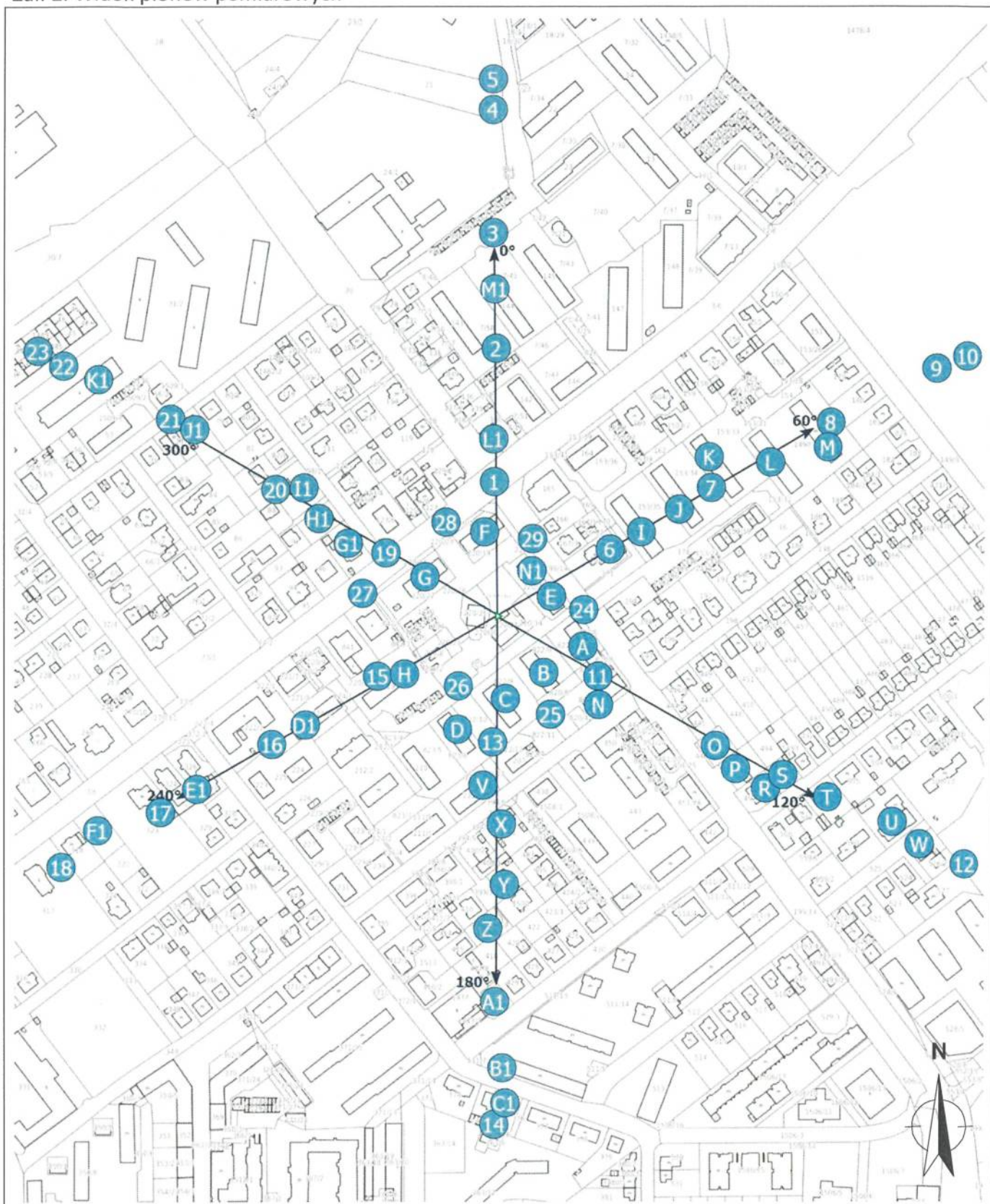
## Załącznik 1. Lokalizacja obiektu



### Współrzędne geograficzne

długość:	16°12'19.55"E
szerokość:	54°11'43.44"N

## Załącznik 2. Widok pionów pomiarowych



### LEGENDA:

inna instalacja radiokomunikacyjna

Odległość, do której zostały wykonane pomiary mierząc od instalacji antenowej wynosi min.: 419,5 metrów.

brak dostępu

nr pion pomiarowy z poprawką pomiarową (brak innych instalacji radiokomunikacyjnych)

nr pion pomiarowy z poprawką pomiarową (w zasięgu innych instalacji radiokomunikacyjnych)

antena sektorowa

antena radioliniowa

Skala: 1:5200





Zař. 3. Zařączniki graficzne.





